

УДК 621.865.8

ОПРЕДЕЛЕНИЕ ЗОНЫ ОБСЛУЖИВАНИЯ МОБИЛЬНОГО МАНИПУЛЯТОРА-ТРИПОДА*

В.М. Герасун, В.В. Жога, И.А. Несмиянов, Н.С. Воробьёва, В.В. Дяшкин-Титов

Получены кинематические зависимости, позволяющие находить положения центра масс схвата мобильного манипулятора-трипода в пределах зоны обслуживания. Определены геометрические характеристики рабочей зоны манипулятора-трипода. Разработан алгоритм перемещения схвата и построена рабочая зона его перемещения. Предложены теоретические зависимости для определения зоны обслуживания при условии исключения попадания механизма в мертвое положение.

Ключевые слова: манипулятор параллельной структуры, кинематический анализ, зона обслуживания.

Введение

Современное сельскохозяйственное производство характеризуется большим разнообразием технологических операций, что обуславливает разработку и создание широкой номенклатуры средств механизации.

Наращивание энергетических мощностей и развитие сельскохозяйственных машин позволяет механизировать основные процессы в растениеводстве, но оставляет ручной труд при выполнении погрузочно-разгрузочных операций. Следует также учитывать сезонность проведения работ, в результате чего существенная доля мобильных агрегатов длительное время не используется, снижая экономические показатели предприятия.

Зарубежный опыт развития сельского хозяйства показывает принципиальную возможность роботизации целого ряда технологических процессов в сельском хозяйстве, где присутствует большая доля монотонного ручного труда. В промышленно развитых странах ведутся интенсивные работы по созданию различных робототехнических систем для механизации трудоемких операций.

Поэтому проведение теоретических исследований и опытно-конструкторских работ, позволяющих создавать машины, повышающие производительность труда, является актуальной задачей.

Целью данной работы явилось определение траекторий перемещения рабочего устройства, образующих зону обслуживания манипулятора-трипода, с учетом поворота опорного основания. Кроме того, для сравнения кинематических характеристик стрелового манипулятора и манипулятора-трипода предложены зависимости, определяющие углы поворотов в пространстве характерного звена переменной длины пространственного механизма.

Кинематика манипулятора-трипода

Основным исполнительным устройством робота или иного технического средства, выполняющего погрузочно-разгрузочные и другие технологические операции, является манипулятор. Одна из его главных характеристик, обеспечивающих экономическую эффективность, – это отношение массы груза к собственной

* Исследование выполнено при финансовой поддержке Российского фонда фундаментальных исследований в рамках научных проектов № 13-08-00387 и № 12-08-00301-а.

массе конструкции. Традиционные стреловые манипуляторы имеют разомкнутую кинематическую цепь, включающую в себя механизмы поворота и изменения вылета стрелы, которые обладают существенной металлоемкостью. Снижения собственной массы манипулятора без ухудшения прочностных характеристик можно достичь, используя пространственные структуры, в частности l -координатные механизмы, получившие в настоящее время достаточно широкое распространение [1–5].

На рисунке 1 представлен l -координатный манипулятор, образованный тремя стержнями в виде силовых гидроцилиндров, концы которых с одной стороны соединены специальным сферическим шарниром, а с другой – располагаются на опорном основании. На сферическом шарнире может устанавливаться пассивное или активное грузозахватное устройство либо иной рабочий орган для выполнения технологических операций. Такое расположение гидроцилиндров с соединяющим их сферическим шарниром представляет собой пространственную структуру в виде треугольной пирамиды, не имеющей избыточных связей. Для этого механизма соблюдается условие статической определимости, состоящее в том, что в одной точке могут пересекаться не более трех стержней [6]. Кроме того, для данной схемы характеристики высокая степень унификации и возможность агрегатно-модульного построения.

Опорное основание способно поворачиваться с помощью гидроцилиндра, что расширяет эксплуатационные показатели манипулятора. Конструкция манипулятора обеспечивает четыре степени подвижности рабочего устройства, что позволяет выполнять максимальное количество технологических операций [7]. Манипулятор может устанавливаться на любом



Рис. 1. Манипулятор-трипод на самоходном шасси Т-16М

транспортном средстве, например на колесном самоходном шасси (см. рис. 1).

Одним из основных технических показателей погружного манипулятора является рабочее пространство, охватывающее возможные траектории перемещения сферического шарнира с грузозахватным устройством.

Решение прямой задачи кинематики о положениях манипулятора позволяет найти геометрические характеристики рабочего пространства при конструктивных ограничениях на обобщенные координаты [8]:

$$L_{i \min} < L_i < L_{i \max}, \quad i = 1, 2, 3, 4,$$

где L – длина гидроцилиндра; i – его порядковый номер.

Для определения траектории перемещения центра масс сферического шарнира с грузозахватным устройством (точка M , рис. 2) выбраны две системы координат: неподвижная $OXYZ$, связанная с транспортным средством, на котором расположен манипулятор, и подвижная $O_1X_1Y_1Z_1$, связанная с поворотным опорным основанием манипулятора.

Уравнения связи между координатами точки M , длинами цилиндров и координатами точек их крепления в подвижной системе координат имеют вид [9]

$$\begin{cases} X_{1M}^2 + Y_{1M}^2 + (Z_{1M} - Z_{1A})^2 = L_1^2; \\ (X_{1M} - X_B)^2 + Y_{1M}^2 + Z_{1M}^2 = L_2^2; \\ (X_{1M} - X_C)^2 + Y_{1M}^2 + Z_{1M}^2 = L_3^2, \end{cases} \quad (1)$$

где X_{1M} , Y_{1M} , Z_{1M} – координаты точки M в подвижной системе координат; L_1 , L_2 , L_3 – текущие значения длин звеньев манипулятора; $X_B = -X_C$; Z_{1A} – постоянные координаты точек крепления звеньев манипулятора.

Решая систему (1), получим зависимости координат точки $M(X_{1M}, Y_{1M}, Z_{1M})$ от длин



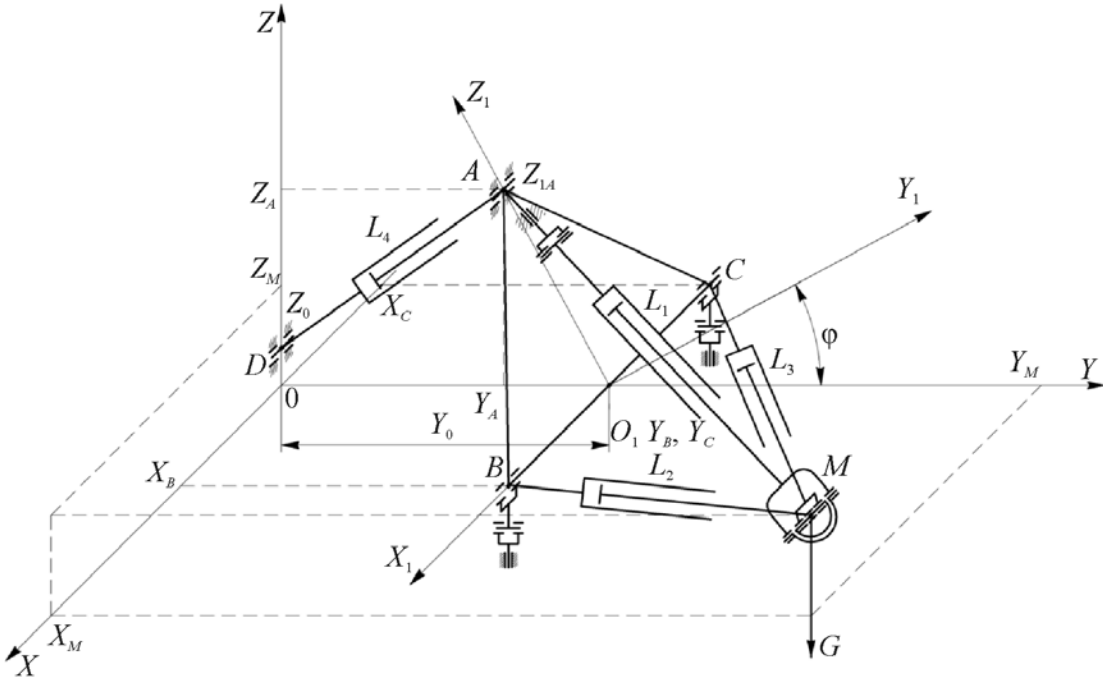


Рис. 2. Расчетная схема манипулятора-трипода:

A, B, C, D – шарнирные опоры гидроцилиндров; L_1, L_2, L_3 – длины гидроцилиндров, образующих пространственный механизм; L_4 – длина гидроцилиндра поворота опорного основания;

G – сила тяжести перемещаемого груза; ϕ – угол поворота опорного основания; X_M, Y_M, Z_M – проекции сферического шарнира M на неподвижные оси координат; $Y_A, Z_A, X_B, Y_B, X_C, Y_C$ – проекции шарнирных опор гидроцилиндров на неподвижные оси координат; Y_0 – координата, определяющая центр подвижной системы координат $O_1X_1Y_1Z_1$ относительно неподвижной $OXYZ$

звеньев L_1, L_2, L_3 и координат точек крепления основания манипулятора:

$$\left\{ \begin{array}{l} X_{1M} = \frac{L_3^2 - L_2^2}{4X_B}; \\ Y_{1M} = \left(\frac{L_1^2 - (L_3^2 - L_2^2)^2}{16X_B^2} - \frac{(-L_1^2 + 0,5L_2^2 + 0,5L_3^2 - X_B^2 - Z_{1A}^2)^2}{4Z_{1A}^2} \right)^{\frac{1}{2}}; \\ Z_{1M} = \frac{-L_1^2 + 0,5L_2^2 + 0,5L_3^2 - X_B^2 + Z_{1A}^2}{2Z_{1A}}. \end{array} \right. \quad (2)$$

Переход от подвижной системы координат $O_1X_1Y_1Z_1$ к неподвижной $OXYZ$ определяется зависимостями [10]

$$\begin{cases} X_M = X_0 + \alpha_{11}X_{1M} + \alpha_{21}Y_{1M} + \alpha_{31}Z_{1M}; \\ Y_M = Y_0 + \alpha_{12}X_{1M} + \alpha_{22}Y_{1M} + \alpha_{32}Z_{1M}; \\ Z_M = Z_0 + \alpha_{13}X_{1M} + \alpha_{23}Y_{1M} + \alpha_{33}Z_{1M}, \end{cases} \quad (3)$$

где X_M, Y_M, Z_M – координаты точки M в неподвижной системе координат; X_0, Y_0, Z_0 – проекции вектора, определяющего положение начала подвижной системы координат в неподвижной системе координат; α_{sk} – проекция единичного вектора \vec{i}_{ls} подвижной системы координат на направление единичного вектора \vec{i}_k неподвижной системы координат, которая определяется скалярным произведением

$$\alpha_{sk} = \vec{i}_{ls} \cdot \vec{i}_k, \quad s, k = 1, 2, 3. \quad (4)$$

Для расчетной схемы (см. рис. 2)

$$X_0 = 0; Y_0 = Y_0; Z_0 = 0;$$

$$\begin{vmatrix} 1 & 0 & 0 \\ 0 & \cos\phi & \sin\phi \\ 0 & -\sin\phi & \cos\phi \end{vmatrix} \quad \text{– матрица направляющих косинусов.}$$

Тогда выражения (2) для координат точки M в неподвижной системе координат принимают вид

$$\left\{ \begin{array}{l} X_M = \frac{L_3^2 - L_2^2}{4X_B}, \\ Y_M = Y_0 + \left(L_1^2 - \frac{(L_3^2 - L_2^2)^2}{16X_B^2} - \frac{(A - X_B^2 - Z_{1A}^2)^2}{4Z_{1A}^2} \right)^{\frac{1}{2}} \times \cos\varphi - \left(\frac{A - X_B^2 + Z_{1A}^2}{2Z_{1A}} \right) \cdot \sin\varphi; \\ Z_M = \left(L_1^2 - \frac{(L_3^2 - L_2^2)^2}{16X_B^2} - \frac{(A - X_B^2 - Z_{1A}^2)^2}{4Z_{1A}^2} \right)^{\frac{1}{2}} \times \sin\varphi + \left(\frac{A - X_B^2 + Z_{1A}^2}{2Z_{1A}} \right) \cdot \cos\varphi, \end{array} \right. \quad (5)$$

где $A = -L_1^2 + 0,5L_2^2 + 0,5L_3^2$.

Полученные зависимости полностью определяют теоретическую область перемещений точки M в пространстве, т. е. рабочую зону обслуживания манипулятора.

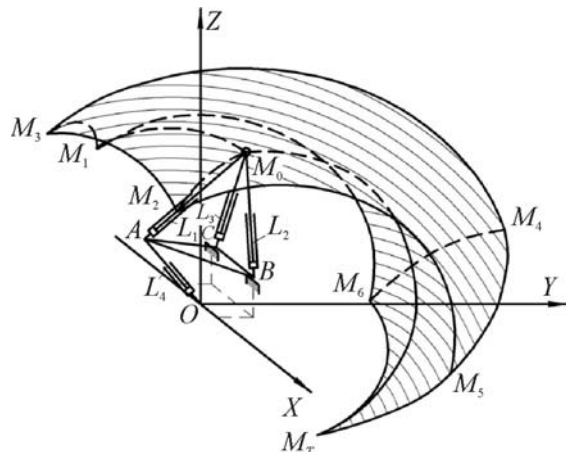


Рис. 3. Рабочая зона манипулятора-тринода:
пределы изменения размеров исполнительных
звеньев манипулятора –
 $1300 \leq L_{1,2,3} \leq 930$ (мм), $630 \leq L_4 \leq 950$ (мм)

Таблица

Построение траекторий, формирующих зону обслуживания

Кривая	Интервалы изменения длин гидроцилиндров	Кривая	Интервалы изменения длин гидроцилиндров
M_0M_1	$L_{1 \min} = \text{const}$ $L_{2 \min} \rightarrow L_{2 \max}$ $L_{3 \min} = \text{const}$ $L_{4 \min} = \text{const}$	M_1M_6	$L_{1 \min} = \text{const}$ $L_{2 \max} = \text{const}$ $L_{3 \min} = \text{const}$ $L_{4 \min} \rightarrow L_{4 \max}$
M_0M_2	$L_{1 \min} = \text{const}$ $L_{2 \min} = \text{const}$ $L_{3 \min} \rightarrow L_{3 \max}$ $L_{4 \min} = \text{const}$	M_2M_5	$L_{1 \min} = \text{const}$ $L_{2 \min} = \text{const}$ $L_{3 \max} = \text{const}$ $L_{4 \min} \rightarrow L_{4 \max}$
M_1M_3	$L_{1 \min} \rightarrow L_{1 \max}$ $L_{2 \max} = \text{const}$ $L_{3 \min} \rightarrow L_{3 \max}$ $L_{4 \min} = \text{const}$	M_4M_5	$L_{1 \max} = \text{const}$ $L_{2 \max} \rightarrow L_{2 \min}$ $L_{3 \max} = \text{const}$ $L_{4 \max} = \text{const}$
M_2M_3	$L_{1 \min} \rightarrow L_{1 \max}$ $L_{2 \min} \rightarrow L_{2 \max}$ $L_{3 \max} = \text{const}$ $L_{4 \min} = \text{const}$	M_4M_6	$L_{1 \max} = \text{const}$ $L_{2 \max} = \text{const}$ $L_{3 \max} \rightarrow L_{3 \min}$ $L_{4 \max} = \text{const}$
M_3M_4	$L_{1 \max} = \text{const}$ $L_{2 \max} = \text{const}$ $L_{3 \max} = \text{const}$ $L_{4 \min} \rightarrow L_{4 \max}$	M_6M_7	$L_{1 \max} = \text{const}$ $L_{2 \max} \rightarrow L_{2 \min}$ $L_{3 \min} = \text{const}$ $L_{4 \max} = \text{const}$
M_0M_7	$L_{1 \min} \rightarrow L_{1 \max}$ $L_{2 \min} = \text{const}$ $L_{3 \min} = \text{const}$ $L_{4 \min} \rightarrow L_{4 \max}$	M_5M_7	$L_{1 \max} = \text{const}$ $L_{2 \min} = \text{const}$ $L_{3 \max} \rightarrow L_{3 \min}$ $L_{4 \max} = \text{const}$

Построение зоны обслуживания

Траектории точек перемещения захвата образуют шесть сферических поверхностей (рис. 3) с центрами вращения в точках O, A, B, C . При пересечении этих поверхностей образуется фигура $M_0...M_7$. Точки M_n ($n = 0, 1, \dots, 7$) характеризуют крайние положения схвата манипулятора, где происходит комбинация движений штоков гидроцилиндров пространственного механизма.

Пределы поворота звеньев в шарнирах продиктованы условиями выполняемого технологического процесса и ограничены конструктивными особенностями шарниров и опорного основания. Шарниры A, B, C (см. рис. 2) обеспечивают поворот корпусов гидроцилиндров относительно собственных осей, параллельных осям O_1Y_1 и O_1X_1 подвижной системы координат, на 360° и $\pm 135^\circ$ соответственно.

Расширение рабочей зоны может быть получено за счет увеличения угла поворота опорного основания, а также перемещения транспортного средства. В таблице показан порядок получения кривых перемещения точки M_0 , сочетание которых формирует зону обслуживания. Начальное положение точки M_0 при этом соответствует минимальным значениям длин гидроцилиндров.

Ориентация верхнего гидроцилиндра звена манипулятора-трипода

Для удобства оценки кинематических параметров манипулятора-тринода и сравнения их с кинематическими параметрами традиционных манипуляторов целесообразно полученные значения координат точки M выразить через углы поворота верхнего цилиндра L_1 (см. рис. 1), который можно считать грузонесущей стрелой, имеющей переменную длину. Кинематические характеристики стреловых манипуляторов характеризуются углами поворота грузонесущей стрелы в вертикальной и горизонтальной плоскостях. Обозначим углы поворота этой стрелы в вертикальной и горизонтальной плоскостях соответственно через ψ и θ и изобразим верхний цилиндр L_1 в виде отрезка AM в системе координат $OXYZ$ (рис. 4). Рассматриваемый отрезок имеет переменную длину и может занимать различные положения в пространстве в зависимости от сочетания длин L_1, L_2, L_3, L_4 . Точка A движется по окружности, расположенной в плоскости ZOY , а точка M со-

вершает сложное движение, представляющее собой сумму переносного вращательного движения вместе с рамой ABC в той же плоскости и относительного пространственного движения в любом направлении в рабочей зоне обслуживания. Из рисунка 4 видно, что искомые углы ψ и θ можно определить следующим образом:

$$\begin{aligned}\psi &= \arcsin \frac{Z_M - Z_A}{L_1}; \\ \theta &= \operatorname{arctg} \frac{-X_M}{Y_M - Y_A}.\end{aligned}\quad (6)$$

Подставив значения X_M, Y_M, Z_M в уравнения (6) и проведя соответствующие преобразования, получим

$$\psi = \arcsin \left[\left(L_1^2 - \frac{(L_3^2 - L_2^2)^2}{16X_B^2} - \frac{(A - X_B^2 - Z_{1A}^2)^2}{4Z_{1A}^2} \right)^{\frac{1}{2}} \times \right] / L_1;$$

$$\begin{aligned}&\times \sin\varphi + \left(\frac{A - X_B^2 + Z_{1A}^2}{2Z_{1A}} \right) \times \\ &\times \cos\varphi - Z_{1A} \cdot \cos\varphi\end{aligned}$$

$$\theta = \operatorname{arctg} \left(-\frac{L_3^2 - L_2^2}{4X_B} \right) /$$

$$\left(L_1^2 - \frac{(L_3^2 - L_2^2)^2}{16X_B^2} - \frac{(A - X_B^2 - Z_{1A}^2)^2}{4Z_{1A}^2} \right)^{\frac{1}{2}} \times$$

$$\begin{aligned}&\times \cos\varphi - \left(\frac{A - X_B^2 + Z_{1A}^2}{2Z_{1A}} \right) \cdot \sin\varphi + Z_{1A} \cdot \sin\varphi.\end{aligned}$$

По этим формулам можно определить углы поворота гидроцилиндра L_1 как аналога грузонесущей стрелы. Например, если угол пово-

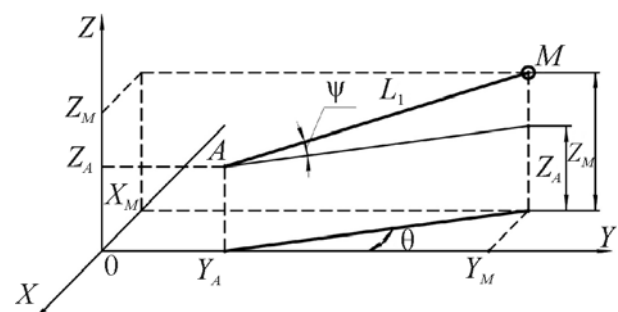


Рис. 4. Определение углов поворота гидроцилиндра L_1

рота гидроцилиндра L_1 по горизонту $\theta = 50^\circ$ и угол поворота по горизонту грузонесущей стрелы традиционного манипулятора также равен 50° , то их характеристики можно считать одинаковыми.

Заключение

Получены зависимости, позволяющие определить положение грузозахватного устройства относительно опорного основания и транспортного средства, на котором расположен манипулятор-трипод. Зависимости исключают неоднозначность положения l -координатного механизма или попадания его в мертвое положение, возникающее в случае, когда входящие в них подкоренные выражения имеют отрицательные значения.

Рассмотрено построение кривых перемещения грузозахватного устройства, совокупность которых образует зону обслуживания манипулятора. В манипуляторе-триподе верхний гидроцилиндр рассматривается как аналог грузонесущей стрелы манипулятора с разомкнутой кинематической связью. Для сравнительной оценки обеих схем манипуляторов найдены зависимости, определяющие положение этого гидроцилиндра в пространстве.

Список литературы

- Глазунов В.А., Колискор А.Ш., Крайнев А.Ф. Пространственные механизмы параллельной структуры. – М.: Наука, 1991. – 96 с.
- Бушуев В.В., Подзоров П.В. Особенности проектирования оборудования с параллельной кинематикой // СТИН. 2004. № 4. С. 3–10.
- Глазунов В.А., Дугин Е.Б., Кистанов В.А., Ву Нгок Бик. Оптимизация параметров механизмов параллельной структуры на основе моделирования рабочего пространства // Проблемы машиностроения и надежности машин. 2005. № 6. С. 12–16.
- Глазунов В.А., Новикова Н.Н., Раюян Г.В., Нгуен Минь Тхань. Оптимизация параметров механизма параллельной структуры для агрессивных сред при учете особых положений // Проблемы машиностроения и надежности машин. 2006. № 2. С. 102–109.
- Ширинкин М.А. Структурный анализ пространственных механизмов параллельной структуры с четырьмя и шестью степенями свободы // Машиностроение и инженерное образование. 2011. № 2. С. 17–21.
- Решетов Л.Н. Конструирование рациональных механизмов : изд. 2-е перераб. и доп. – М.: Машиностроение, 1972. – 256 с.
- Герасун В.М., Рогачев А.Ф., Несмиянов И.А. Опыт использования пространственных механизмов в кинематических цепях манипуляторов // Труды XXI Международной науч.-техн. конференции «Экстремальная робототехника». СПб.: Политехника-сервис, 2010. С. 169–172.
- Герасун В.М., Пындак В.И., Несмиянов И.А. и др. Манипуляторы для мобильных роботов. Концепции и принципы проектирования // Препринты ИПМ им. М.В. Келдыша. 2012. № 44. 24 с.
- Герасун В.М., Жога В.В., Несмиянов И.А. и др. Кинематическое исследование манипулятора-трипода // Современное машиностроение. Наука и образование. Материалы 2-й Международной науч.-практ. конференции. СПб.: 2012. С. 251–258.
- Коловский М.З., Евграфов А.Н., Семенов Ю.А., Слоущ А.В. Теория механизмов и машин: учеб. пособие для студ. высш. учеб. завед. – М.: Изд. центр «Академия», 2006. – 560 с.
- Корендересев А.И., Саламандра Б.Л., Тывес Л.И. и др. Манипуляционные системы роботов / Под общ. ред. А.И. Корендересева. – М.: Машиностроение, 1989. – 472 с.
- Герасун В.М., Несмиянов И.А. Системы управления манипуляторами на основе пространственных исполнительных механизмов // Мехатроника, автоматизация, управление. 2010. № 2. С. 24–28.

Материал поступил в редакцию 17.04.13.

ГЕРАСУН

Владимир Морисович
E-mail: gerasun@ro.ru
Тел.: (8442) 41-18-49

Доктор технических наук, профессор кафедры «Механика» Волгоградского государственного аграрного университета. Сфера научных интересов – динамика машин, синтез механизмов, системы управления. Автор более 130 публикаций.

ЖОГА

Виктор Викторович
E-mail: dtm@vstu.ru
Тел.: (8442) 24-80-99

Доктор физико-математических наук, профессор кафедры «Теоретическая механика» Волгоградского государственного технического университета. Сфера научных интересов – динамика и управление движением шагающих аппаратов, системы управления манипуляторами, мобильные роботы, алгоритмы управления и стабилизации, энергетическая эффективность машин. Автор более 185 публикаций.

НЕСМИЯНОВ

Иван Алексеевич
E-mail:
ivan_nesmiyanov@mail.ru,
nesmiyanov@ro.ru
Тел.: (8442) 41-12-39

Кандидат технических наук, заведующий кафедрой «Механика» Волгоградского государственного аграрного университета. Сфера научных интересов – манипуляторы, синтез программных движений, эргатические системы. Автор более 120 публикаций.

ВОРОБЬЕВА

Наталья Сергеевна
E-mail: vorobva@inbox.ru
Тел.: (8442) 41-18-49

Кандидат технических наук, доцент кафедры «Механика» Волгоградского государственного аграрного университета. Сфера научных интересов – кинематика машин, синтез механизмов, оптимальное движение, системы управления. Автор более 40 публикаций.

ДЯШКИН-ТИТОВ

Виктор Владимирович
E-mail: c_43.52.00@mail.ru
Тел.: (8442) 41-18-49

Аспирант кафедры «Механика» Волгоградского государственного аграрного университета. Сфера научных интересов – манипуляторы, синтез программных движений, кинематика машин, оптимальное движение. Автор более 20 публикаций.